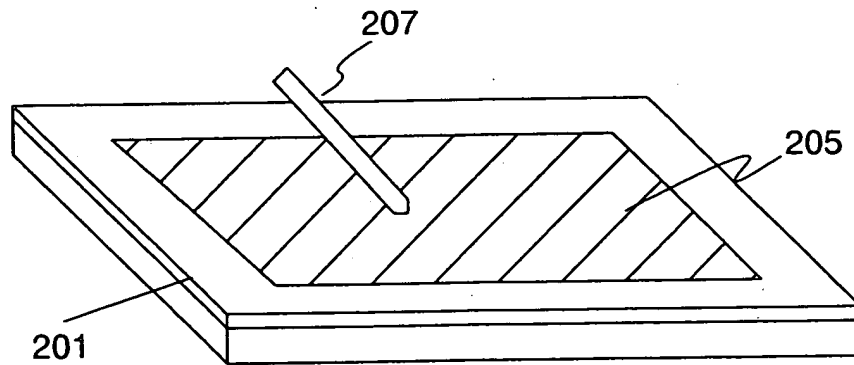


Fig. 2A

PRIOR ART



PRIOR ART

Fig. 2B

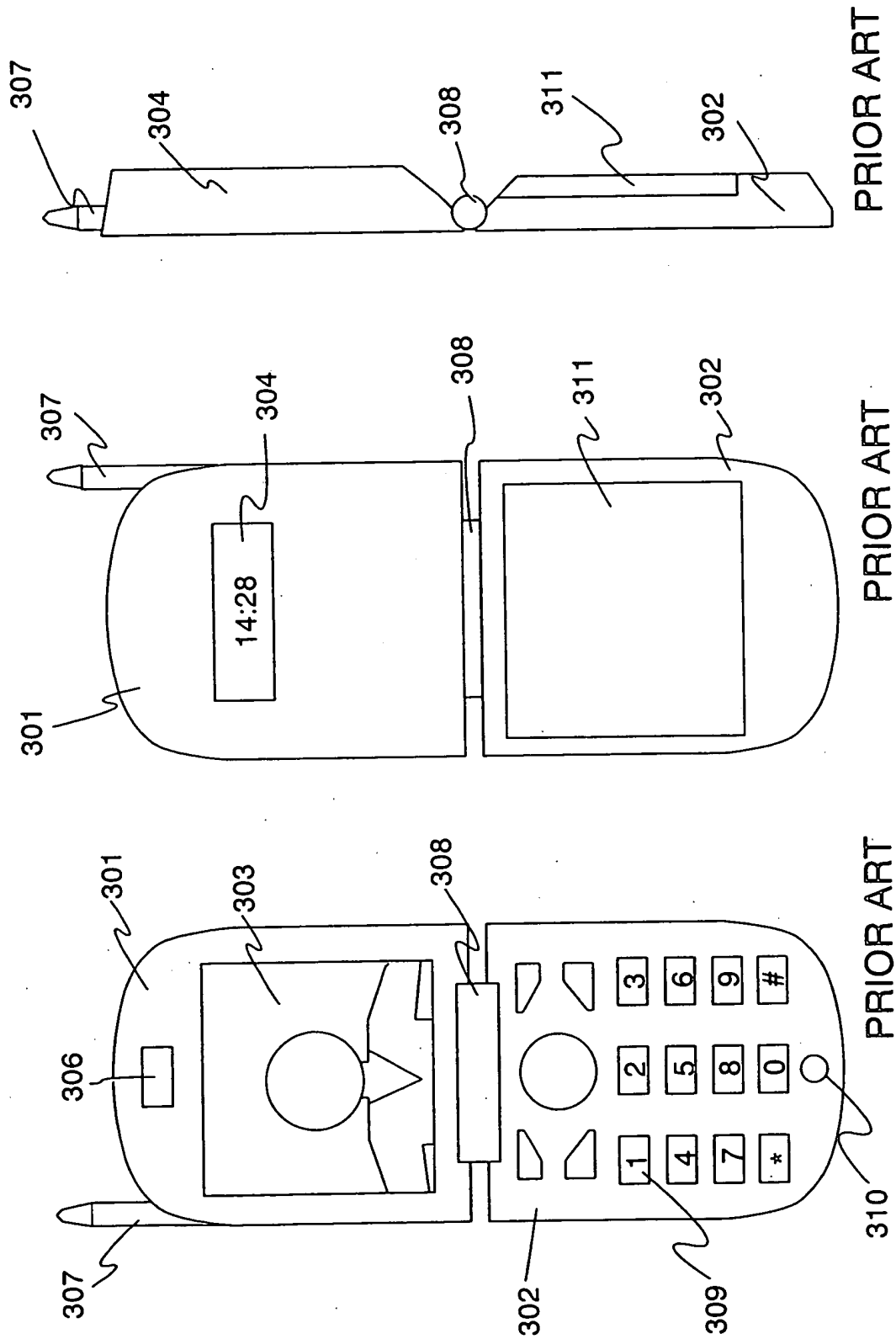


Fig. 3A

Fig. 3B

Fig. 3C

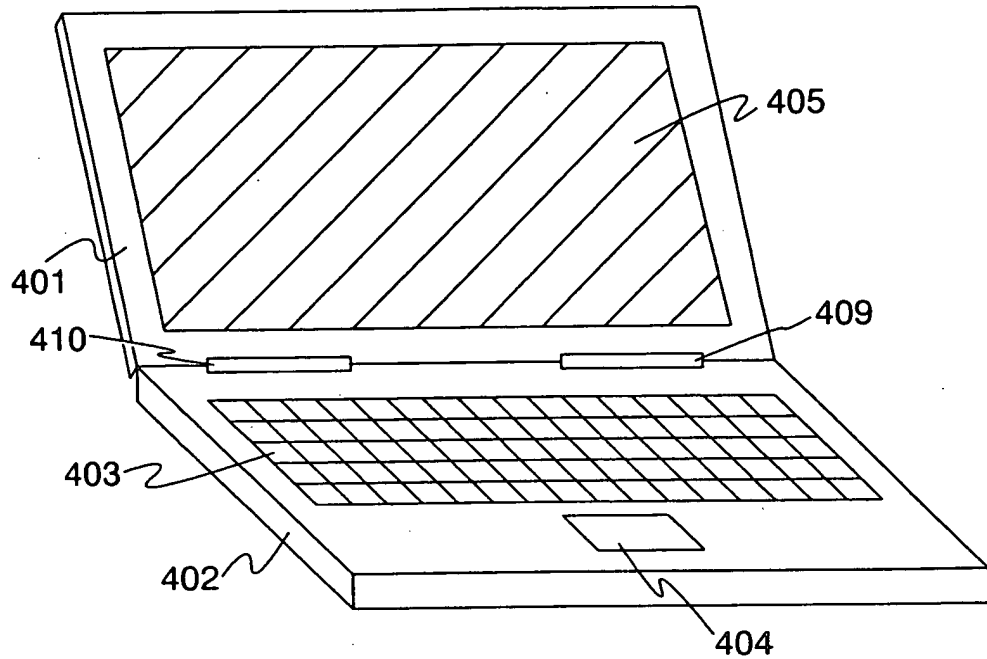


Fig. 4A

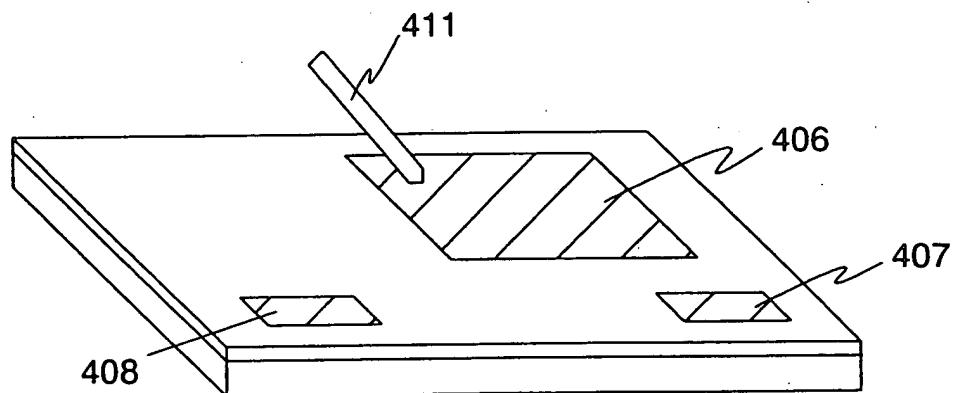


Fig. 4B

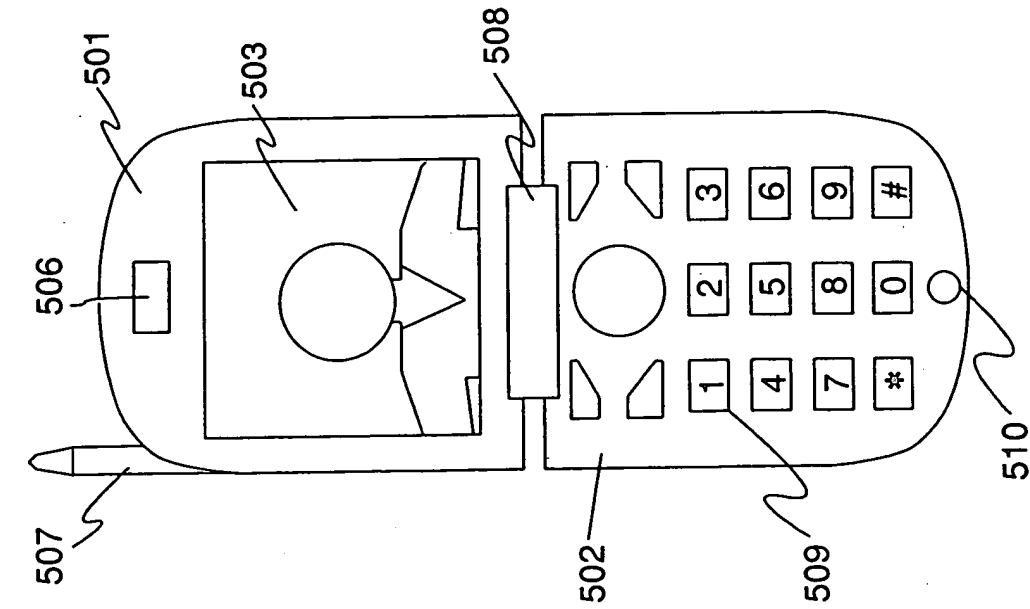


Fig. 5A

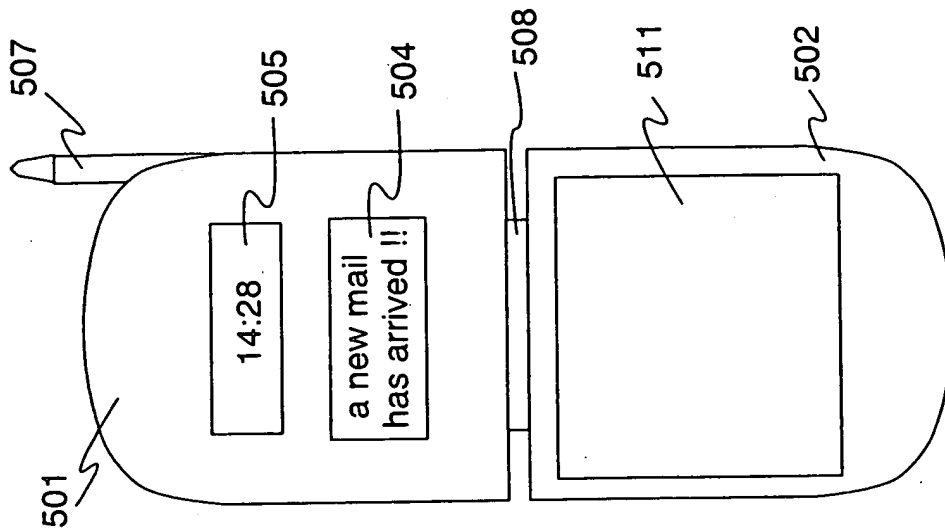


Fig. 5B

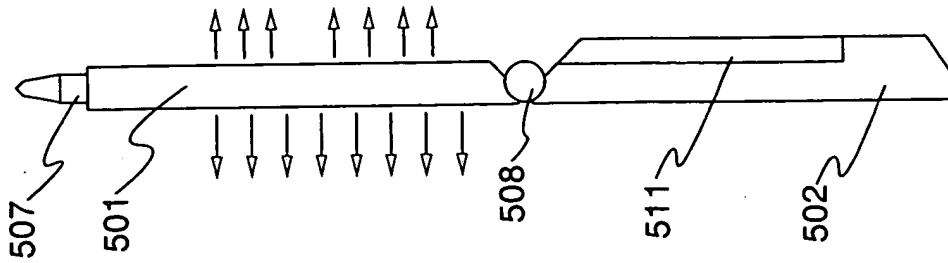


Fig. 5C

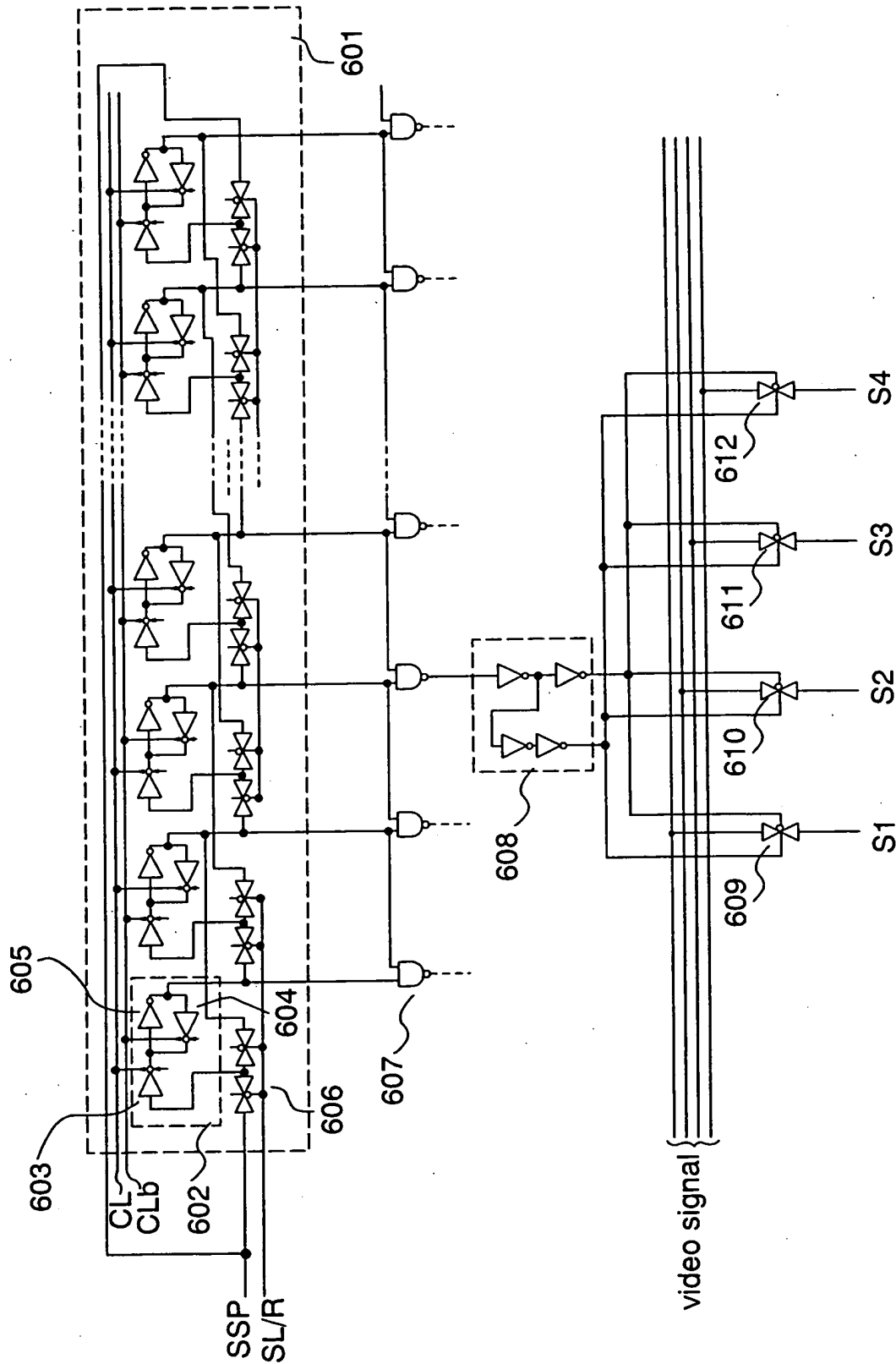


Fig. 6

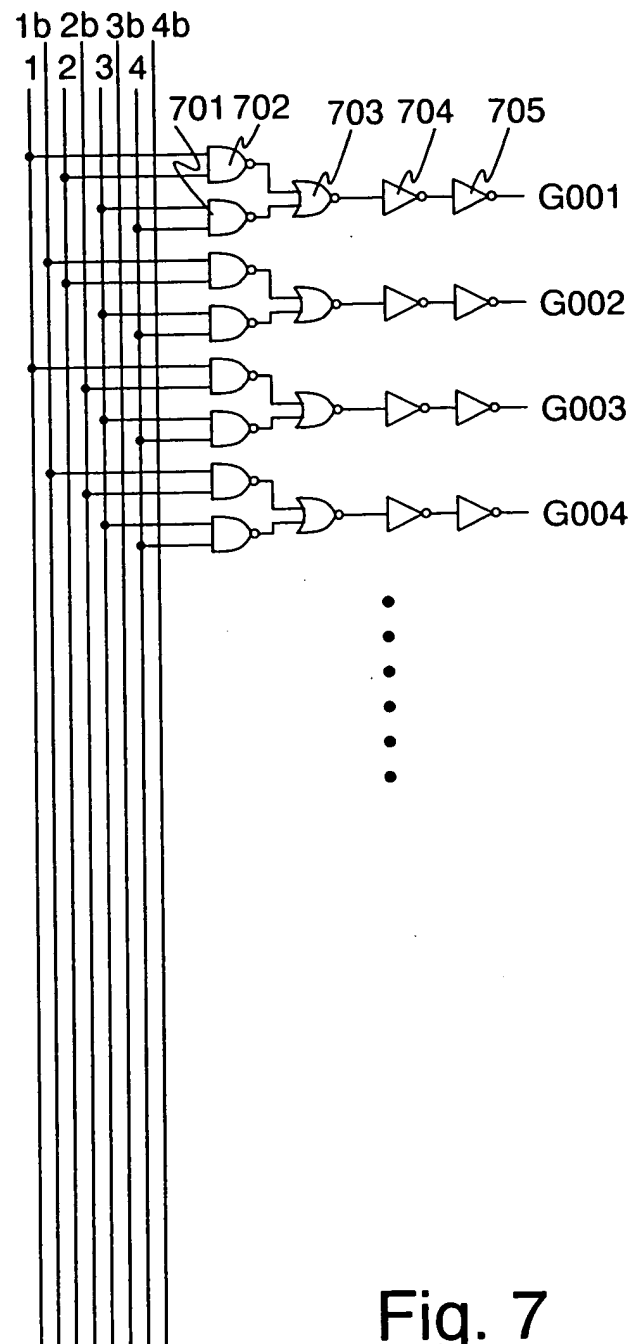
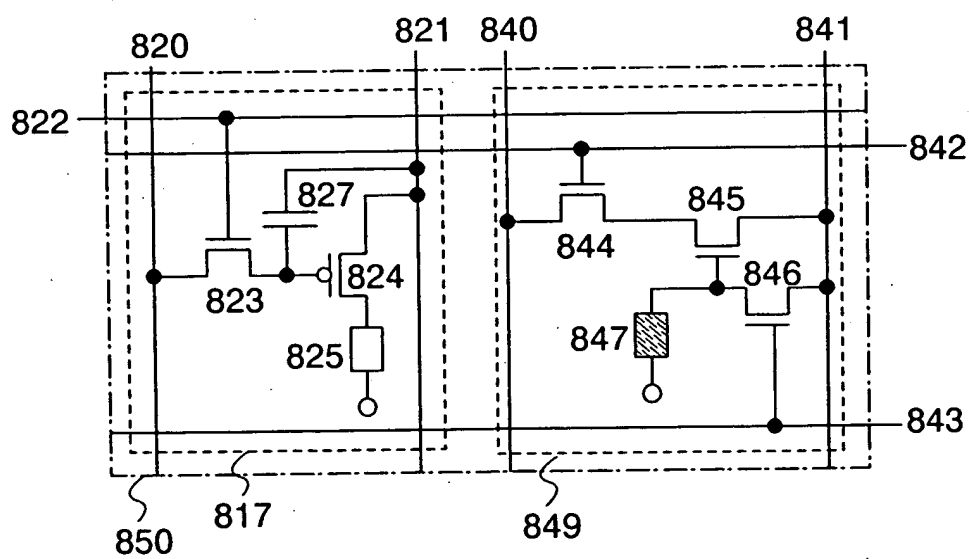


Fig. 7





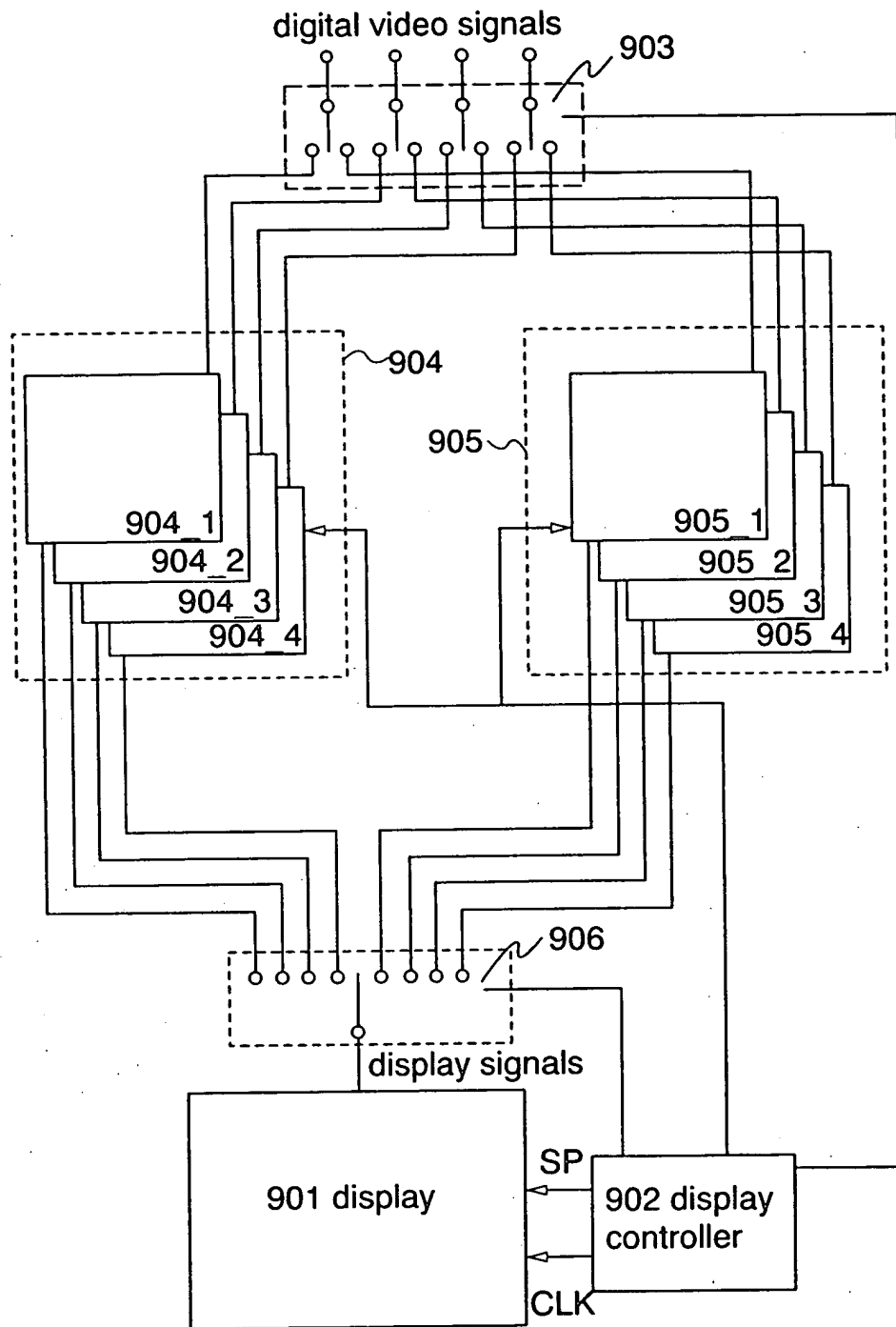


Fig. 9

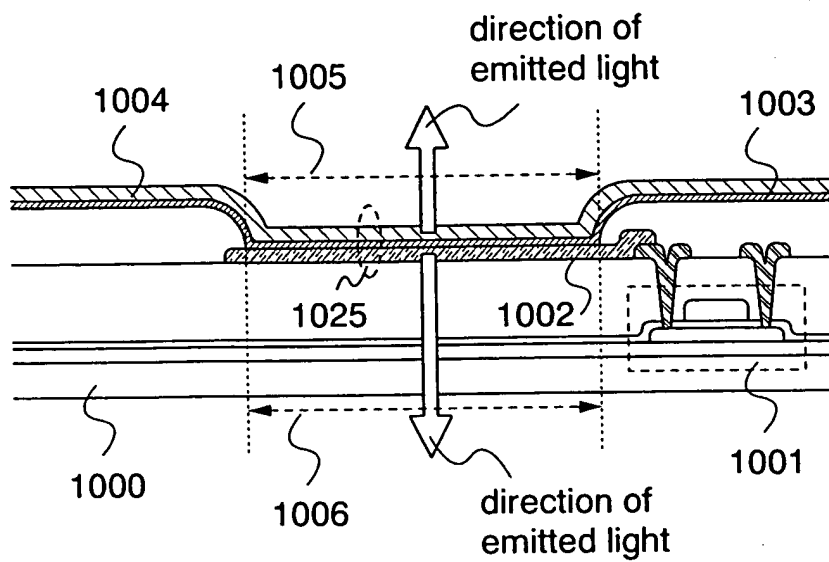


Fig. 10A

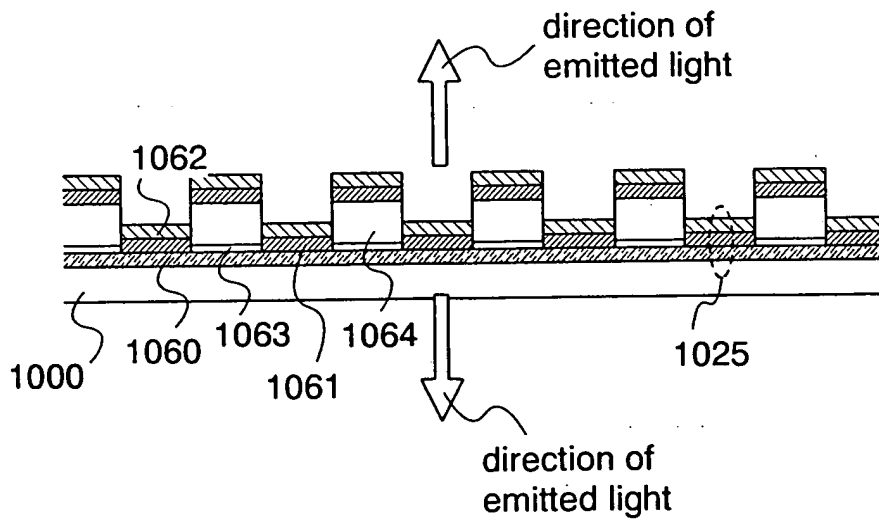


Fig. 10B

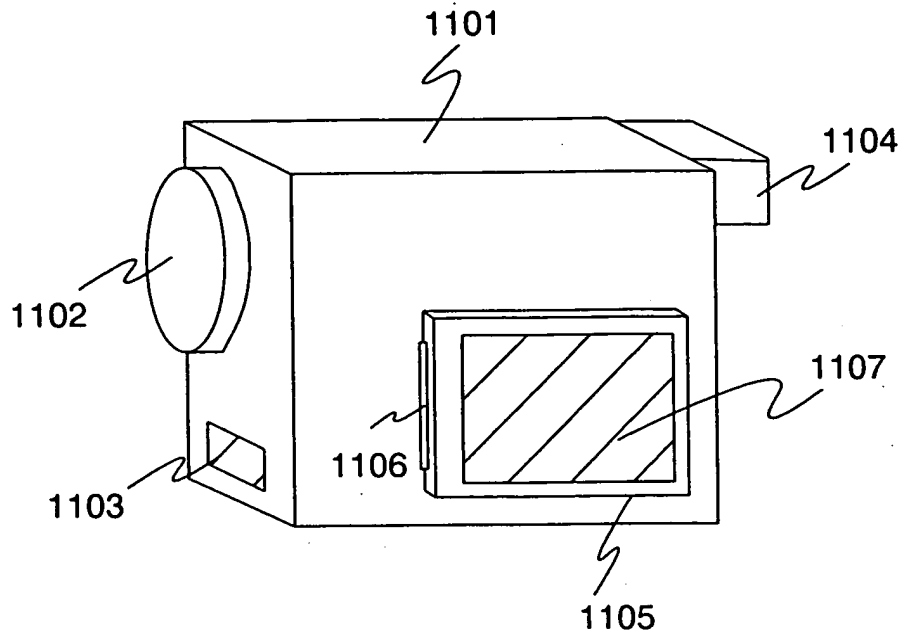


Fig. 11A

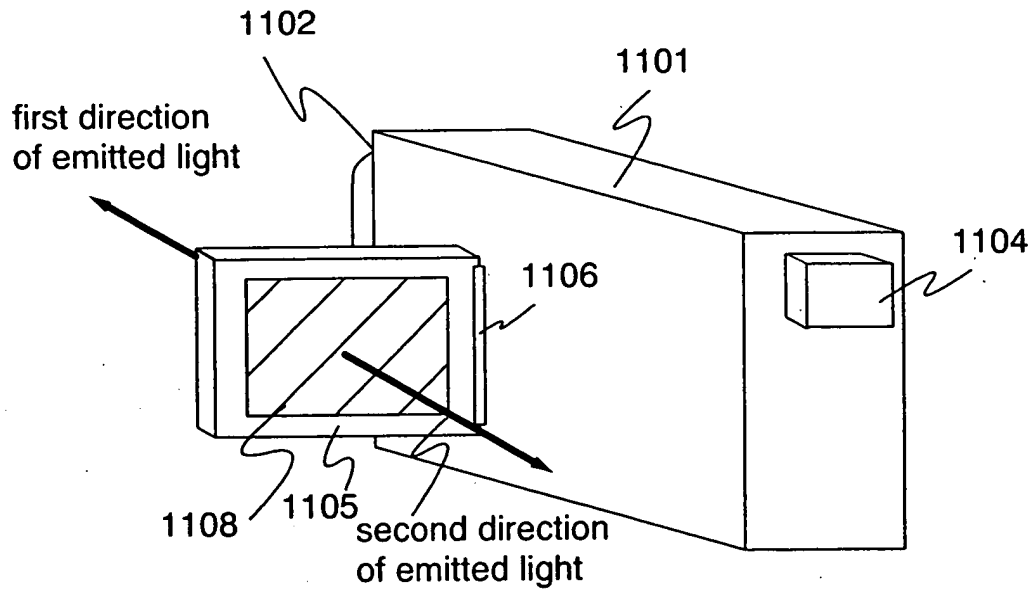


Fig. 11B

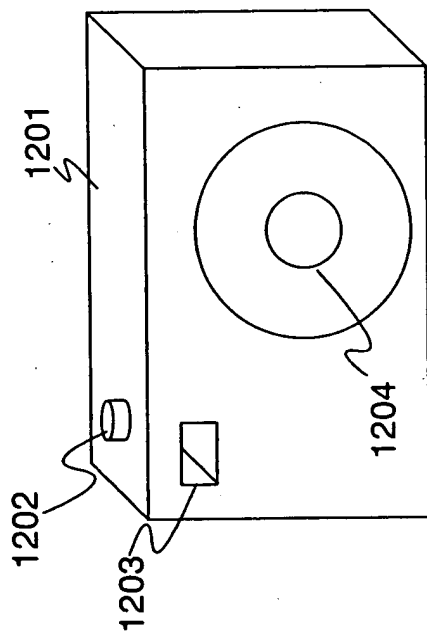


Fig. 12A

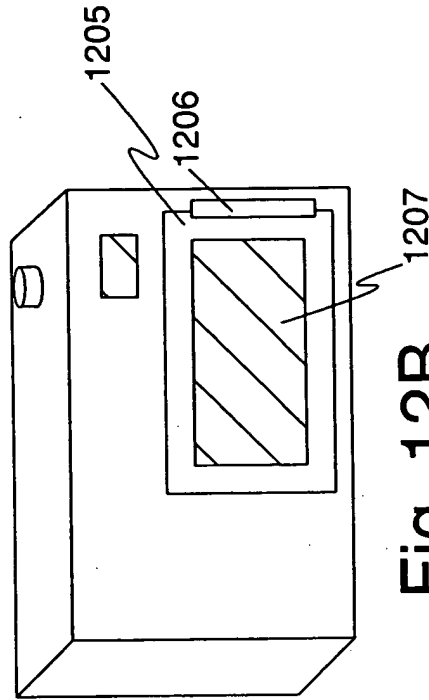


Fig. 12B

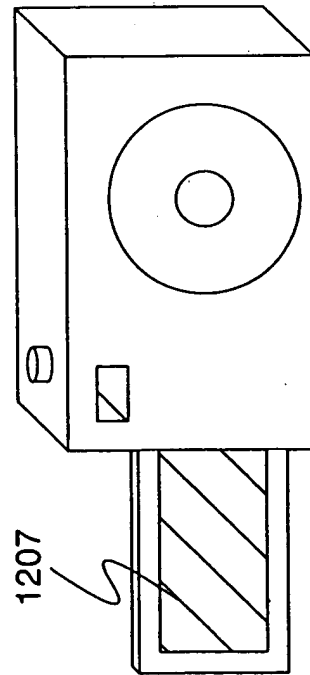


Fig. 12C

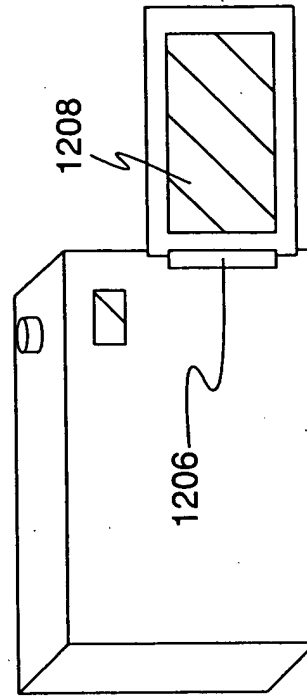
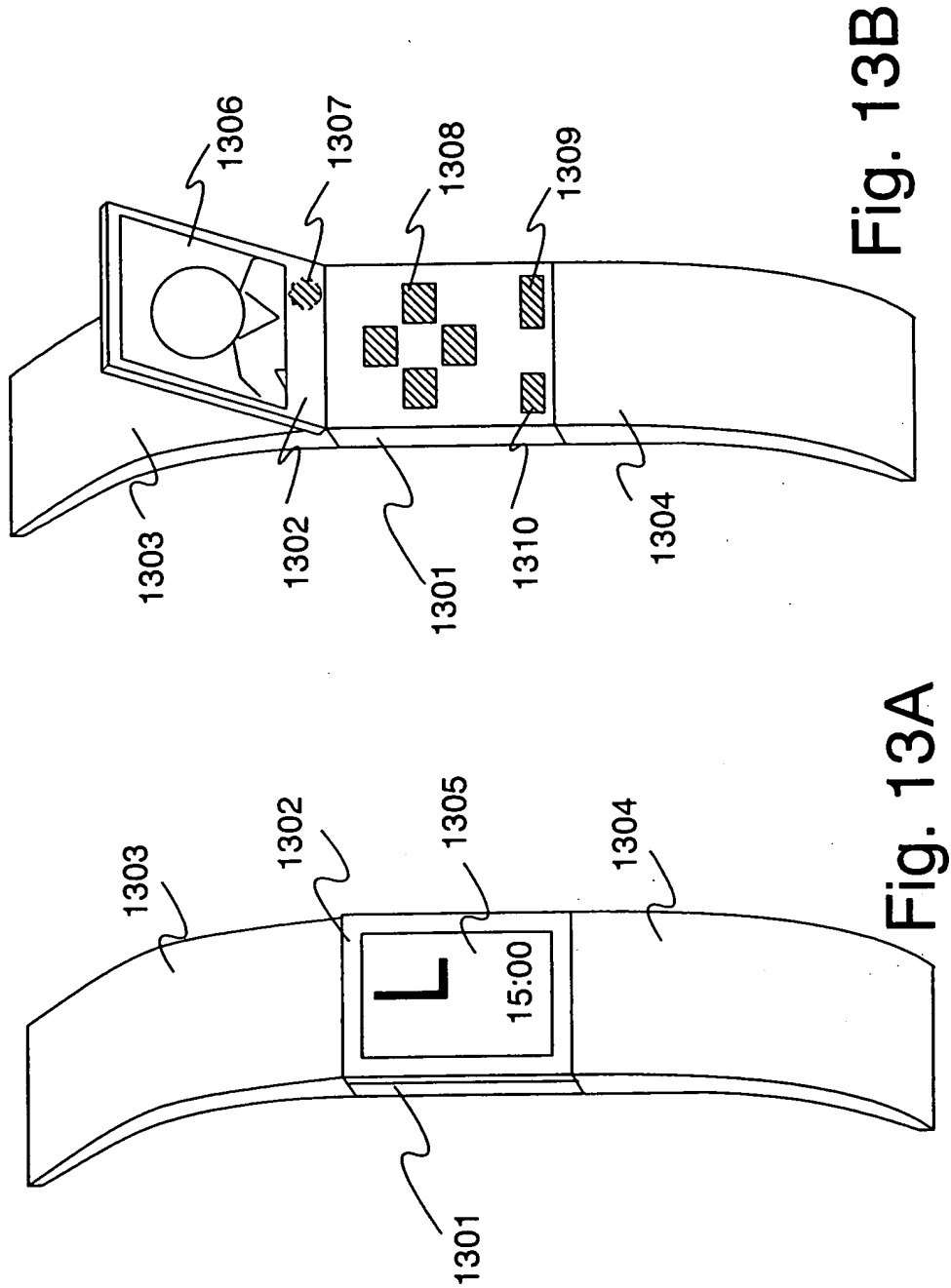


Fig. 12D



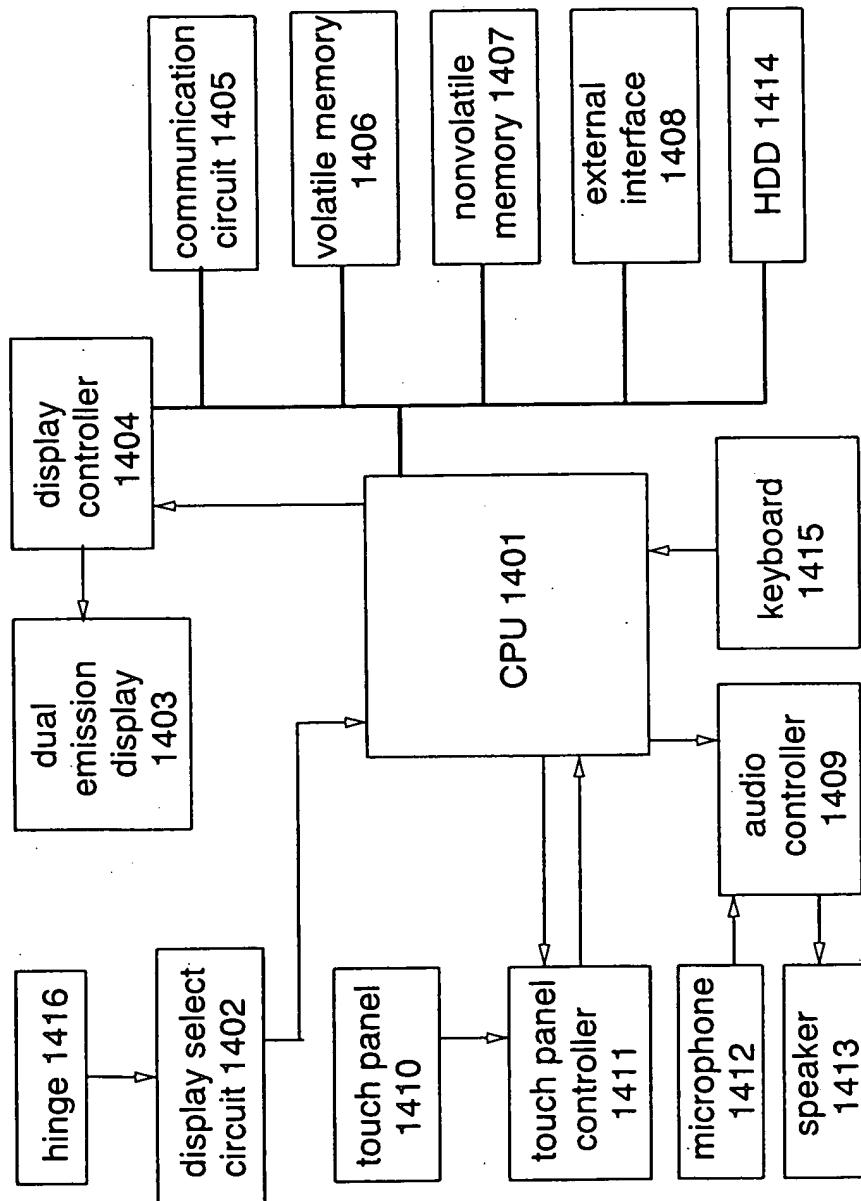


Fig. 14

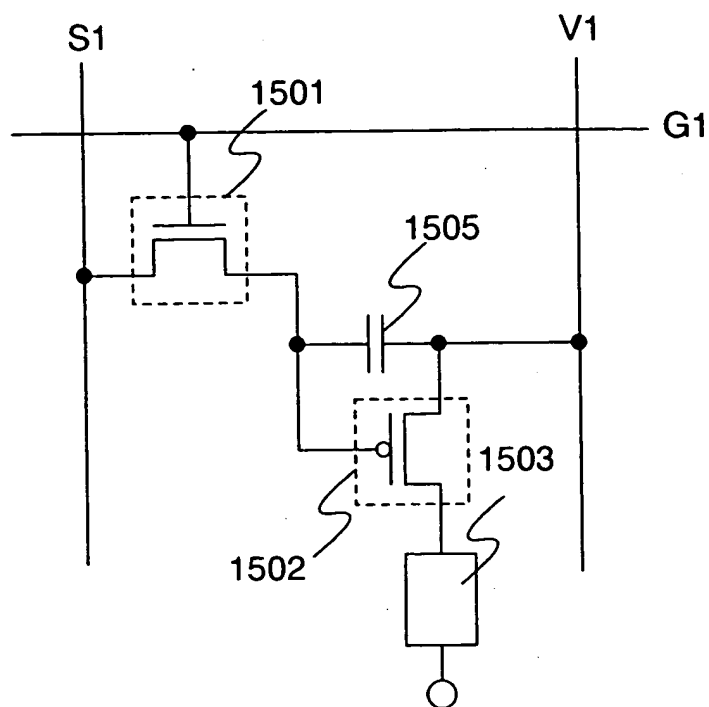


Fig. 15A

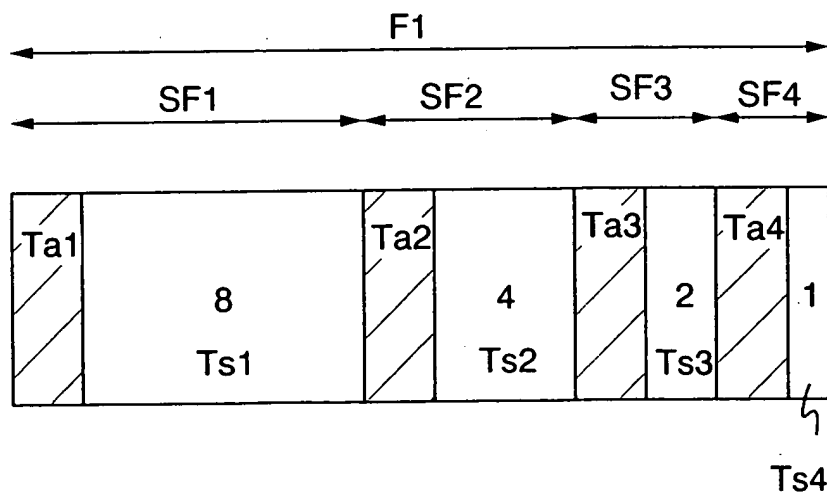


Fig. 15B

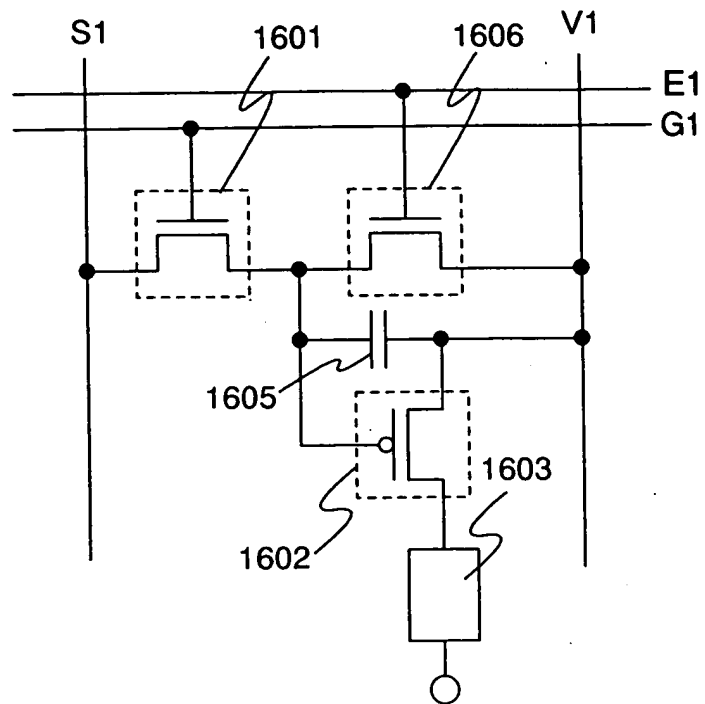


Fig. 16A

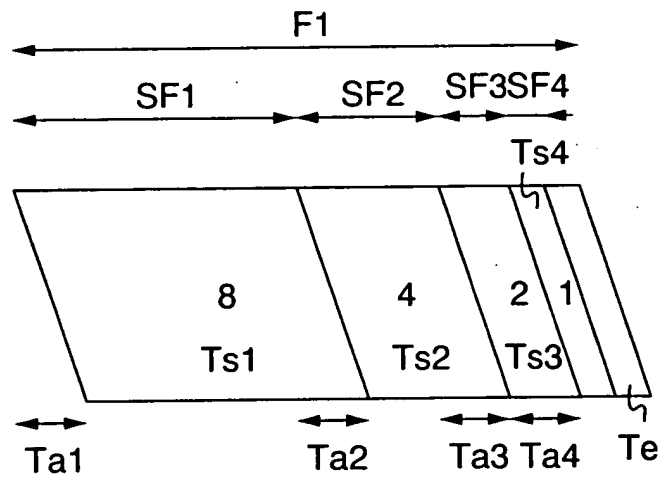


Fig. 16B



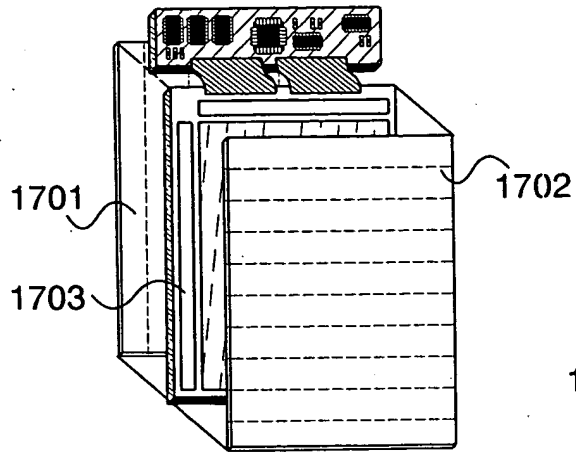


Fig. 17A

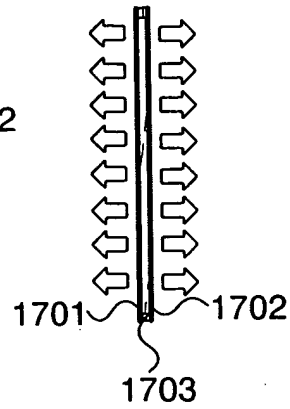


Fig. 17B

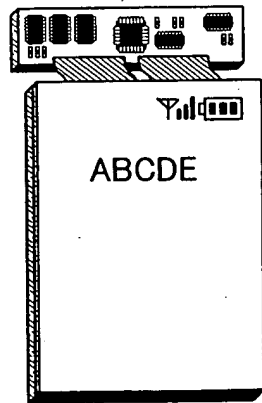


Fig. 17C

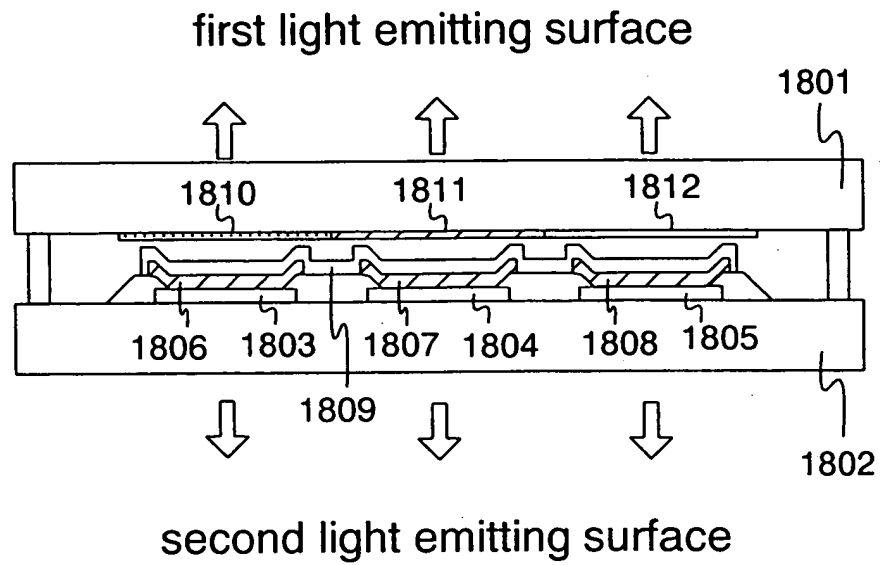


Fig. 18

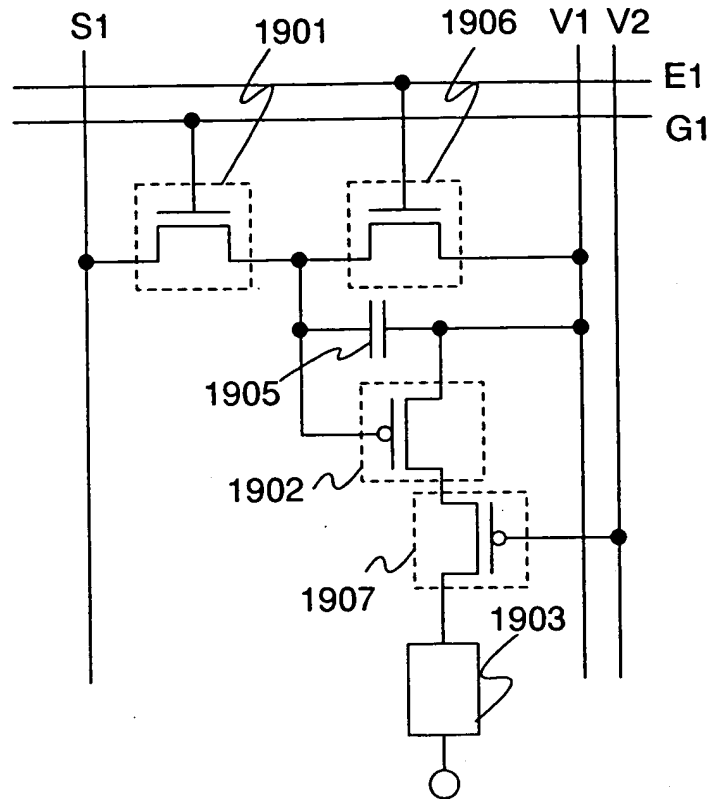


Fig. 19

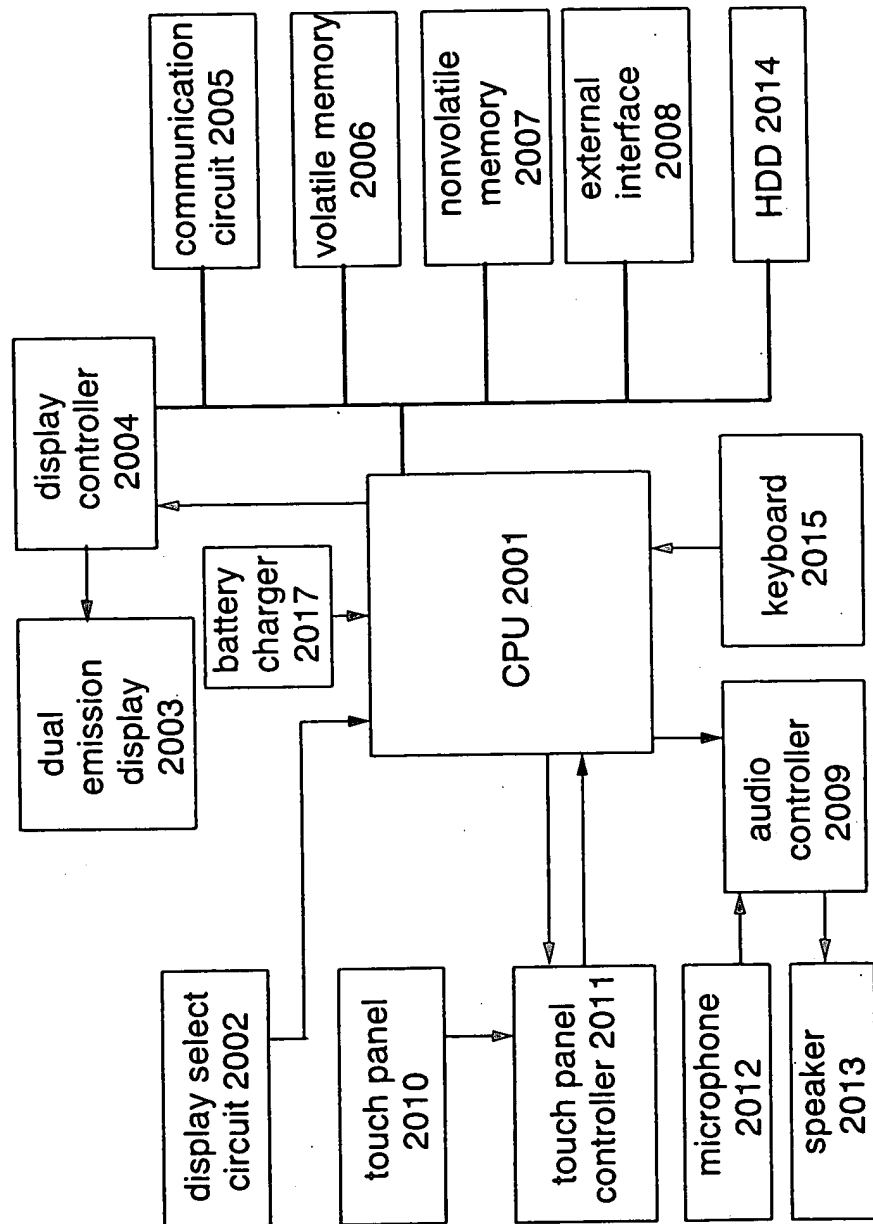


Fig. 20

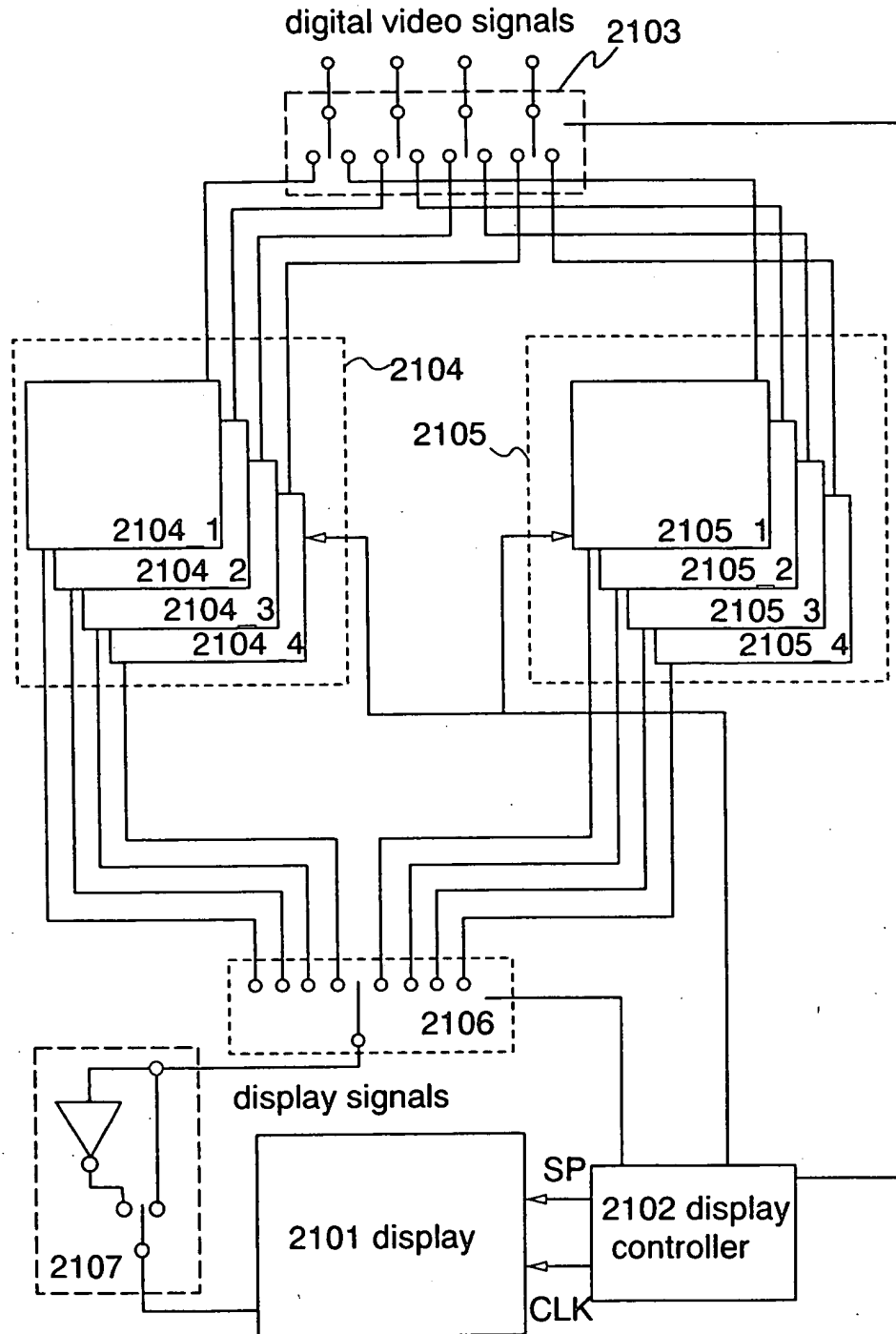


Fig. 21

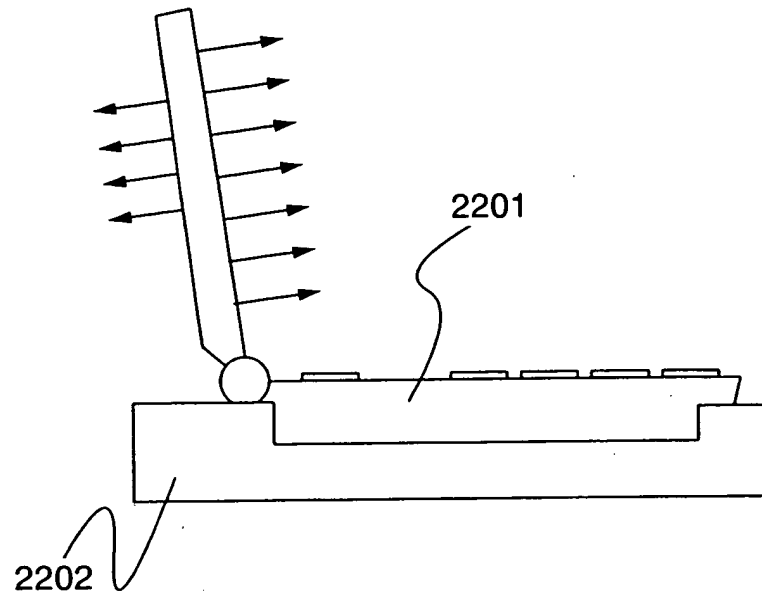


Fig. 22

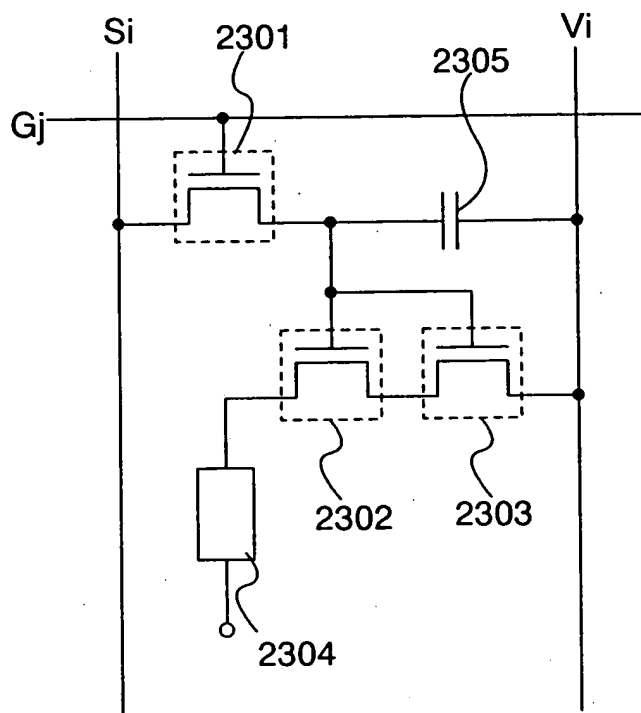


Fig. 23

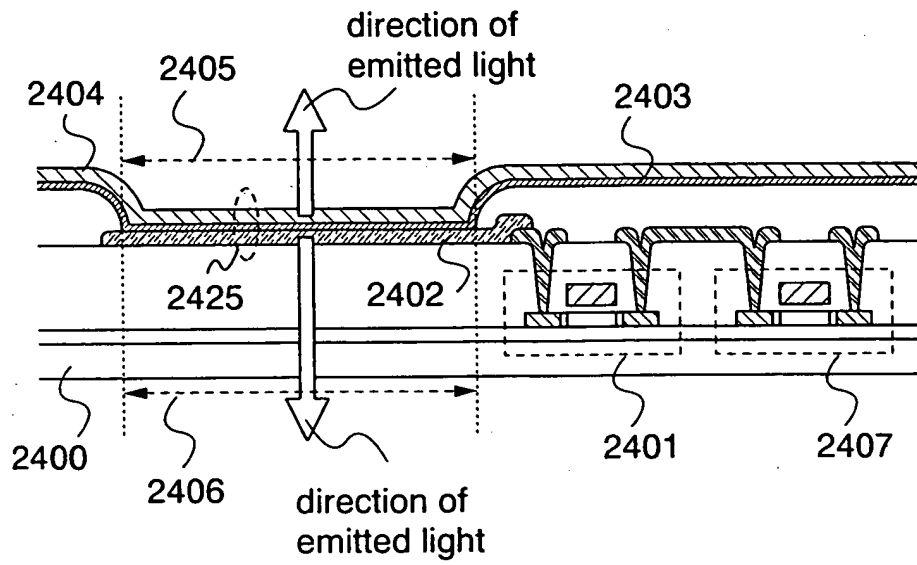


Fig. 24